

Starkniederschlagshöhen und -spenden gemäß KOSTRA-DWD-2010R

Auswertungszeitraum von 1951 - 2010, Januar - Dezember

Rasterfeld: 66046

Zeile: 66

Spalte: 46

Seite: 1/2

| Dauerstufe D | Wiederkehrzeit T | | | | | | | | | | | | | | | | | | |
|--------------|------------------|------|------------|------|------------|------|------------|------|------------|------|------------|------|------------|------|------------|-------|------------|-------|------------|
| | 1 a | | 2 a | | 3 a | | 5 a | | 10 a | | 20 a | | 30 a | | 50 a | | 100 a | | |
| min | Std | mm | l / (s ha) | mm | l / (s ha) | mm | l / (s ha) | mm | l / (s ha) | mm | l / (s ha) | mm | l / (s ha) | mm | l / (s ha) | mm | l / (s ha) | mm | l / (s ha) |
| 5 | | 5,6 | 186,7 | 7,5 | 250,0 | 8,7 | 290,0 | 10,1 | 336,7 | 12,1 | 403,3 | 14,1 | 470,0 | 15,2 | 506,7 | 16,7 | 556,7 | 18,6 | 620,0 |
| 10 | | 8,9 | 148,3 | 11,6 | 193,3 | 13,1 | 218,3 | 15,1 | 251,7 | 17,8 | 296,7 | 20,6 | 343,3 | 22,1 | 368,3 | 24,1 | 401,7 | 26,8 | 446,7 |
| 15 | | 11,0 | 122,2 | 14,3 | 158,9 | 16,2 | 180,0 | 18,6 | 206,7 | 21,8 | 242,2 | 25,1 | 278,9 | 27,0 | 300,0 | 29,4 | 326,7 | 32,7 | 363,3 |
| 20 | | 12,5 | 104,2 | 16,3 | 135,8 | 18,4 | 153,3 | 21,2 | 176,7 | 24,9 | 207,5 | 28,6 | 238,3 | 30,8 | 256,7 | 33,6 | 280,0 | 37,3 | 310,8 |
| 30 | | 14,5 | 80,6 | 19,0 | 105,6 | 21,7 | 120,6 | 25,0 | 138,9 | 29,5 | 163,9 | 34,0 | 188,9 | 36,6 | 203,3 | 39,9 | 221,7 | 44,4 | 246,7 |
| 45 | | 16,3 | 60,4 | 21,7 | 80,4 | 24,9 | 92,2 | 28,9 | 107,0 | 34,3 | 127,0 | 39,7 | 147,0 | 42,9 | 158,9 | 46,9 | 173,7 | 52,3 | 193,7 |
| 60 | | 17,3 | 48,1 | 23,5 | 65,3 | 27,1 | 75,3 | 31,7 | 88,1 | 37,9 | 105,3 | 44,1 | 122,5 | 47,7 | 132,5 | 52,3 | 145,3 | 58,5 | 162,5 |
| 90 | | 18,9 | 35,0 | 25,1 | 46,5 | 28,8 | 53,3 | 33,4 | 61,9 | 39,7 | 73,5 | 45,9 | 85,0 | 49,6 | 91,9 | 54,2 | 100,4 | 60,4 | 111,9 |
| 120 | 2 | 20,1 | 27,9 | 26,4 | 36,7 | 30,1 | 41,8 | 34,7 | 48,2 | 41,0 | 56,9 | 47,3 | 65,7 | 50,9 | 70,7 | 55,6 | 77,2 | 61,9 | 86,0 |
| 180 | 3 | 22,0 | 20,4 | 28,3 | 26,2 | 32,0 | 29,6 | 36,7 | 34,0 | 43,0 | 39,8 | 49,3 | 45,6 | 53,0 | 49,1 | 57,7 | 53,4 | 64,0 | 59,3 |
| 240 | 4 | 23,4 | 16,2 | 29,7 | 20,6 | 33,5 | 23,3 | 38,2 | 26,5 | 44,5 | 30,9 | 50,9 | 35,3 | 54,6 | 37,9 | 59,3 | 41,2 | 65,7 | 45,6 |
| 360 | 6 | 25,5 | 11,8 | 31,9 | 14,8 | 35,7 | 16,5 | 40,4 | 18,7 | 46,9 | 21,7 | 53,3 | 24,7 | 57,0 | 26,4 | 61,8 | 28,6 | 68,2 | 31,6 |
| 540 | 9 | 27,9 | 8,6 | 34,3 | 10,6 | 38,1 | 11,8 | 42,9 | 13,2 | 49,4 | 15,2 | 55,8 | 17,2 | 59,6 | 18,4 | 64,4 | 19,9 | 70,9 | 21,9 |
| 720 | 12 | 29,7 | 6,9 | 36,2 | 8,4 | 40,0 | 9,3 | 44,8 | 10,4 | 51,3 | 11,9 | 57,8 | 13,4 | 61,6 | 14,3 | 66,4 | 15,4 | 72,9 | 16,9 |
| 1080 | 18 | 32,4 | 5,0 | 39,0 | 6,0 | 42,8 | 6,6 | 47,6 | 7,3 | 54,2 | 8,4 | 60,7 | 9,4 | 64,6 | 10,0 | 69,4 | 10,7 | 76,0 | 11,7 |
| 1440 | 24 | 34,5 | 4,0 | 41,1 | 4,8 | 44,9 | 5,2 | 49,8 | 5,8 | 56,4 | 6,5 | 63,0 | 7,3 | 66,8 | 7,7 | 71,7 | 8,3 | 78,3 | 9,1 |
| 2880 | 48 | 44,3 | 2,6 | 52,4 | 3,0 | 57,2 | 3,3 | 63,2 | 3,7 | 71,3 | 4,1 | 79,4 | 4,6 | 84,2 | 4,9 | 90,1 | 5,2 | 98,3 | 5,7 |
| 4320 | 72 | 51,3 | 2,0 | 60,3 | 2,3 | 65,6 | 2,5 | 72,2 | 2,8 | 81,2 | 3,1 | 90,3 | 3,5 | 95,5 | 3,7 | 102,2 | 3,9 | 111,2 | 4,3 |

Angaben in mm: Bemessungsniederschlagswerte h(n)

Angaben in l / (s ha): Regenspende R(n) mit $R(n) = h(n) \times 1,666667 / D[\text{min}]$

Toleranzbereiche:

+/- 10 % für $1 \text{ a} \leq T \leq 5 \text{ a}$

+/- 15 % für $5 \text{ a} < T \leq 50 \text{ a}$

+/- 20 % für $50 \text{ a} < T \leq 100 \text{ a}$

Datenbasis: KOSTRA-DWD-2010R des Deutschen Wetterdienstes. Die Regenspende wurde auf Basis des Bemessungsniederschlags zur jeweiligen Andauer berechnet.

Für die Richtigkeit und Aktualität der Angaben wird keine Gewähr übernommen. Erstellt 07/2022.

Starkniederschlagshöhen und -spenden gemäß KOSTRA-DWD-2010R

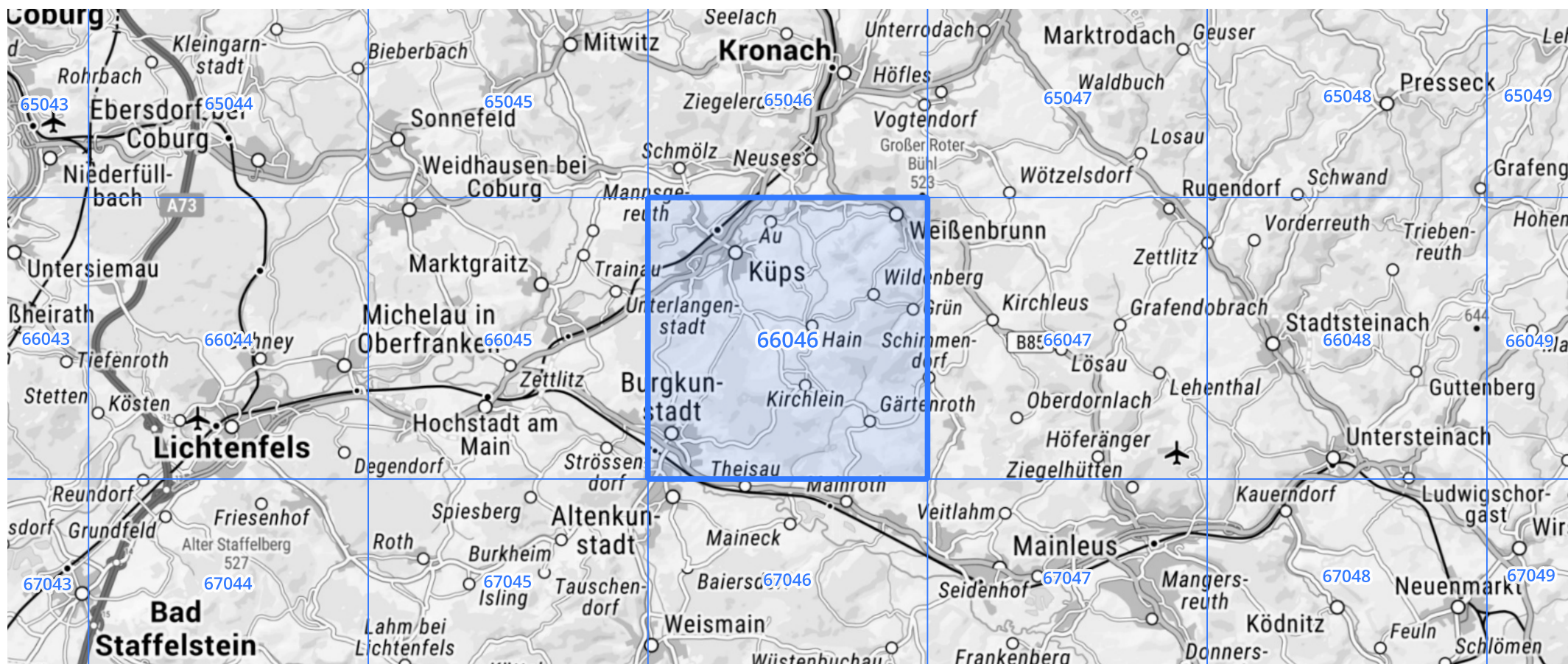
Auswertungszeitraum von 1951 - 2010, Januar - Dezember

Rasterfeld: 66046

Zeile: 66

Spalte: 46

Seite: 2/2



Quelle Rasterdaten: KOSTRA-DWD-2010R des Deutschen Wetterdienstes.

Kartendarstellung: © Bundesamt für Kartographie und Geodäsie (2022), Datenquellen: https://sgx.geodatenzentrum.de/web_public/gdz/datenquellen/Datenquellen_TopPlusOpen.html

Für die Richtigkeit und Aktualität der Angaben wird keine Gewähr übernommen. Erstellt 07/2022.